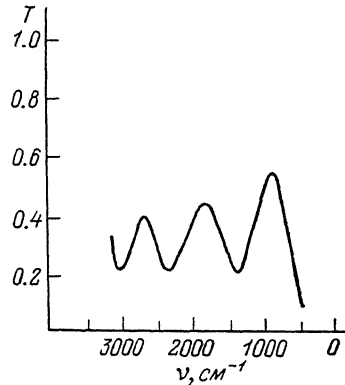


**ОПРЕДЕЛЕНИЕ ОПТИЧЕСКИХ КОНСТАНТ
ТОНКИХ ПЛЕНОК GeS,
ПОЛУЧЕННЫХ ИМПУЛЬСНЫМ ЛАЗЕРНЫМ ИСПАРЕНИЕМ**

Киндяк В. В., Моисеенко В. В., Киндяк А. С.,
Гременок В. Ф., Корень Н. Н., Григорьев К. П.

В последние годы возросло внимание к новым полупроводниковым материалам на основе $A^{IV}B^{VI}$. Среди них особый интерес для оптоэлектроники представляют как объемные кристаллы, так и тонкие фоточувствительные пленки моносульфида германия. Однако необходимо отметить, что если процесс роста кристаллов GeS исследован довольно подробно, то процесс кристаллизации тонких слоев GeS остается практически не изученным в связи с тем, что традиционными способами испарения не удается получать кристаллические пленки моносульфида германия.

В данном сообщении для наращивания на различных подложках совершенных тонких пленок GeS был использован метод импульсного лазерного испарения. Высокие скорости испарения позволяют снизить требования к вакуумному технологическому оборудованию ввиду увеличения так называемого эквивалент-



Спектральное распределение коэффициента пропускания системы пленка—подложка GeS—BaF₂ в инфракрасной области.

ногого вакуума. Известно, что высокая степень пересыщения, когда зародышем критического размера может стать отдельный атом, благоприятно влияет на начальные стадии роста, а за счет значительного энергетического возбуждения атомов конденсирующего пара снижается температура эпитаксии [1, 2].

Напыление совершенных тонких кристаллических пленок GeS проводилось в вакуумной камере при давлении $4 \cdot 10^{-6}$ мм рт. ст. с помощью лазера ГОС-1001, работающего в режиме свободной генерации с длиной волны 1.06 мкм и длительностью импульса 1.1 мс.

Результаты комплексного исследования кристаллической структуры пленок GeS и их физических свойств приведены нами в работах [3, 4]. Необходимо отметить, что в литературе практически отсутствуют сведения об оптических константах пленок GeS, а данные о диэлектрической проницаемости GeS рассчитаны в [5] только для объемных кристаллов.

Задачей настоящей работы являлось определение оптических констант (показателя преломления n , показателя поглощения k , коэффициента поглощения α и диэлектрической проницаемости ϵ) монокристаллических пленок GeS на прозрачной подложке BaF₂ по интерференционным спектрам пропускания $T(\nu)$, снятым на спектрофотометре «Perkin-Elmer-280» в области частот 350—3200 см⁻¹ (см. рисунок). Спектральное разрешение было порядка 2—4 см⁻¹. Толщина пленки составляла 2.5, подложки — 250 мкм.

Расчеты оптических констант пленки GeS проводились по интерференционным спектrogramмам методом последовательных приближений [6], основным соотношением которого является

$$T_{\text{экст}} = 16n_2^2 n_3 / [(n_2 + 1)^3 (n_3^2 + n_2) e^{\gamma_2} - (n_2 - 1)^3 (n_3^2 - n_2) e^{-\gamma_2} + (-1)^m 2(n_2^2 - 1)(n_3^2 - n_2^2)],$$

где $T_{\text{экст}}$ — экстремальное значение коэффициента пропускания системы пленка—подложка, n_2 и n_3 — показатели преломления пленки и подложки со-

ответственно, а $\gamma_2 = (4\pi/\lambda) k_2 d_2$, k_2 — показатель поглощения пленки, d_2 — толщина пленки.

Отметим, что первое приближение для n_2 находится при пренебрежении поглощением в экстремуме с нечетным порядком интерференции m . Поскольку определяются константы n_2 и k_2 при четных m , а нечетным m соответствуют другие длины волн, при расчете пользовались интерполяционной кривой, плавно соединяющей экстремумы с нечетным m .

Расчет оптических констант по интерференционным спектрам пропускания методом последовательных приближений проводился численно на персональной ЭВМ PC/XT. Полученные значения n , k , α , а также вещественной ϵ_1 и мнимой ϵ_2 составляющих комплексной диэлектрической проницаемости тонких пленок на подложке BaF_2 приведены в таблице.

$\nu, \text{ см}^{-1}$	m	n	k	$\alpha = 4\pi k/\lambda \cdot 10^3, \text{ см}^{-1}$	$\epsilon_1 = n^2 - k^2$	$\epsilon_2 = 2nk$
900	2	5.23	0.22	2.49	27.1	2.3
1800	4	4.33	0.15	3.39	18.6	1.3
2680	8	4.13	0.09	3.03	17.00	0.7

Таким образом, впервые определены оптические константы n , k и α моноцисталлических слоев GeS, а значения диэлектрической проницаемости тонких пленок ϵ_1 и ϵ_2 хорошо совпадают с приведенными в [5] данными для объемных кристаллов.

Список литературы

- [1] Пилинкевич А. Н., Быковский Ю. А., Лощинин М. Б. Лазерное напыление тонких пленок. Киев, 1980. 84 с.
- [2] Коген N. N., Gremenok V. F., Kindyak V. V. // Phys. St. Sol. (a). 1985. V. 90. P. K121—K123.
- [3] Корень Н. Н., Моисеенко В. В., Киндяк В. В., Иванов В. А. // Тез. докл. Всес. конф. по халькогенидам германия. Ужгород, 1988. С. 349.
- [4] Корень Н. Н., Моисеенко В. В., Киндяк В. В., Гременок В. Ф. // Тез. докл. Всес. совещ. по фотоэлектрическим явлениям в полупроводниках. Ташкент, 1989. С. 105.
- [5] Wiley J. D., Buckel W. J., Schmidt R. L. // Phys. Rev. B. 1976. V. 13. N 6. P. 2489—2495.
- [6] Раков А. В. Спектрофотометрия тонкопленочных полупроводниковых структур. М., 1975. 175 с.

Институт физики твердого тела
и полупроводников АН БССР
Минск

Получено 18.12.1990
Принято к печати 14.05.1991

ФТП, том 25, вып. 9, 1991

ОПТИЧЕСКИЕ СВОЙСТВА ПЛЕНОК

$(\text{Zn}_{0.265}\text{Cd}_{0.735})_3(\text{P}_{0.1}\text{As}_{0.9})_2$,

ПОЛУЧЕННЫХ ИМПУЛЬСНЫМ ЛАЗЕРНЫМ ИСПАРЕНИЕМ

Матяс Э. Е., Гременок В. Ф., Трухан В. М.

Соединения группы A_3B_2 обладают рядом уникальных физических свойств и используются в полупроводниковой и квантовой электронике [1]. В частности, на арсениде кадмия изготовлены датчики Холла и ИК приемники.

Практическое применение материалов и растущие требования промышленности вызывают особый интерес к твердым растворам $\text{A}_3^{\text{II}}\text{B}_2^{\text{V}}$, где непрерывное